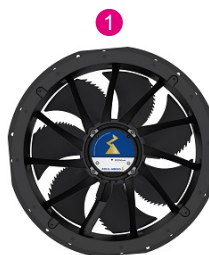




données ventilateur

30.05.2023

version FANselect V 1.01 (230530), AMCA V 1.03 September, 2021
RLT V 1.00 Dezember, 2021 / 1.23.05.30 | 28707 | (utilisateur ZAFS18707)



| | |
|-----------|----------------------------|
| type | ZN063-ZIL.GG.V7P3 |
| n°article | 183835 Portfolio STD-WWW |

caractéristiques

| | | |
|--|--------|-----------------------------|
| moteur | ECblue | |
| Efficiency class | IE5 | |
| tension principale | - | 3~ 400V 50Hz Y |
| température ambiante (t _r) | °C | 75 |
| rendement η_{statA} | % | 52,8 |
| Rendement $N_{actual} N_{target}$ | | 57,5 40 |
| classe ErP | | 2015 Variateur EC intégré |
| grille influence | | pressure side measured |

données ventilateur

| | | |
|---|-------|-----------------|
| vitesse ventilateur (n) max. (n_{max}) | 1/min | - 1270 |
| frequence (f_{BP}) (f_{max}) | Hz | 50 60 |
| dimensions (Lxlxh) | mm | 790 x 790 x 290 |
| poids (m_{pr}) | kg | 31.8 |

valeur nominale

3~ 380-480V Y 50Hz P1 1.85kW
 3.00-2.40A 1270/MIN 75°C
 3~ 380-480V Y 60Hz P1 1.85kW
 3.00-2.40A 1270/MIN 75°C
 IP55 THCL155

PF:PF_50; Ano:183835; STol:+-10 %



courbe debit/pression / Acoustic

30.05.2023

Version FANselect V 1.01 (230530), AMCA V 1.03 September, 2021
 RLT V 1.00 Dezember, 2021 / 1.23.05.30 | 28707 | (utilisateur ZAFS18707)

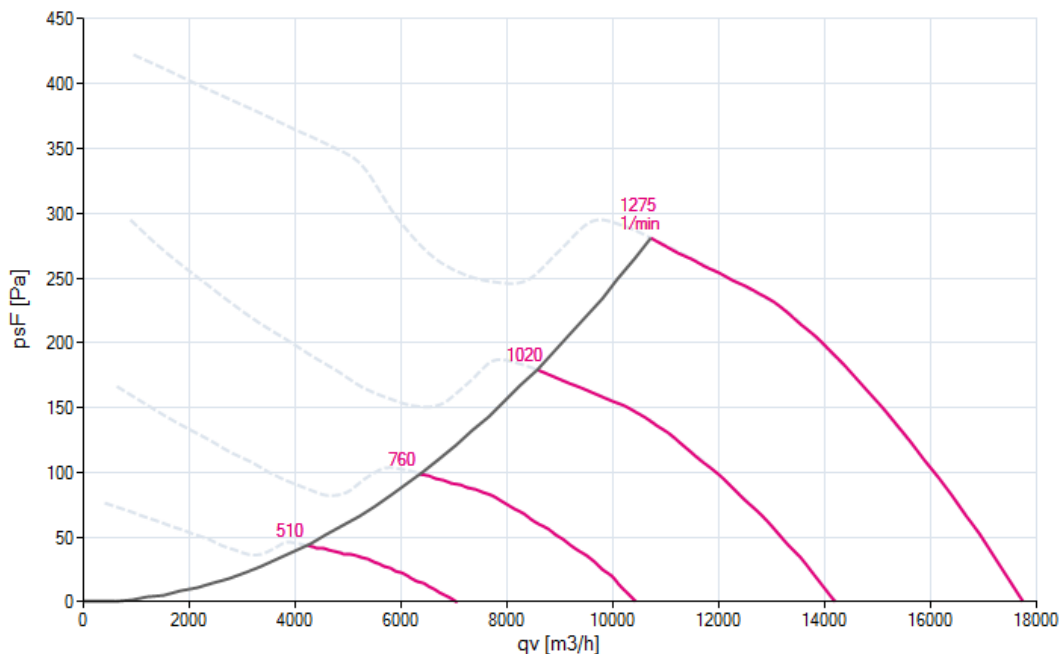
1 ZN063-ZIL.GG.V7P3

Measured in ZPlus with pressure side guard grille in air flow direction V in installation type A according to ISO5801

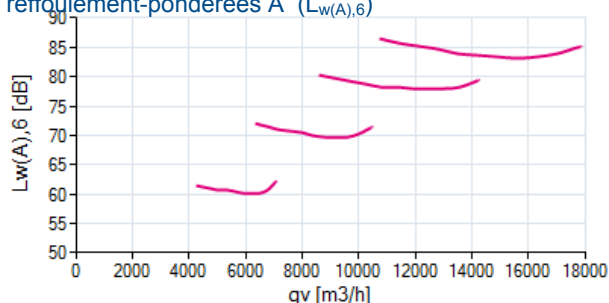
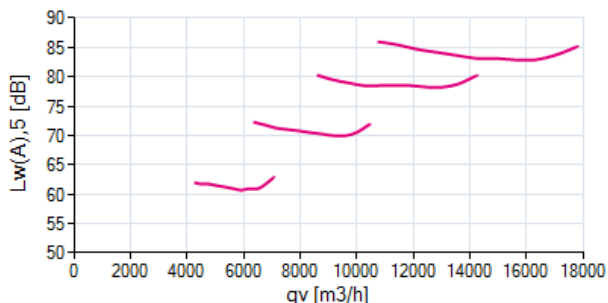
183835 | Portfolio STD-WW

densité de mesure 1.16 [kg/m³]

Performance aéraulique p_{sF}



niveau de puissance acoustique côté aspiration-pondérées A (Niveau de puissance acoustique côté refoulement-pondérées A ($L_{w(A),6}$))



1 ZN063-ZIL.GG.V7P3

| f [Hz] | sum | 63 | 125 | 250 | 500 | 1000 | 2000 | 4000 | 8000 |
|--------------|-----|----|-----|-----|-----|------|------|------|------|
| $L_{w(A),5}$ | - | - | - | - | - | - | - | - | - |
| $L_{w,5}$ | - | - | - | - | - | - | - | - | - |

| f [Hz] | sum | 63 | 125 | 250 | 500 | 1000 | 2000 | 4000 | 8000 |
|--------------|-----|----|-----|-----|-----|------|------|------|------|
| $L_{w(A),6}$ | - | - | - | - | - | - | - | - | - |
| $L_{w,6}$ | - | - | - | - | - | - | - | - | - |